

---

**Faculty Electrical & Computer Engineering**, Institute of Electronic Packaging Technology

# **Elektro-optische Kointegration**

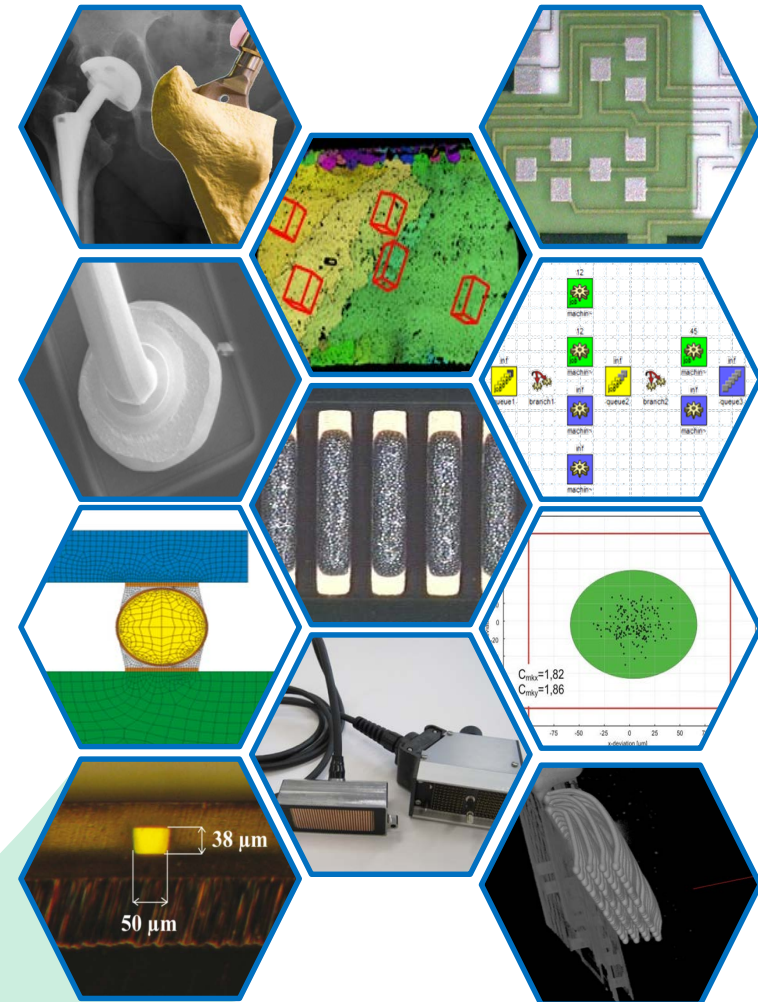
## **Vorstellung von Projektergebnissen aus HAEC, Atto3D & Optaver**

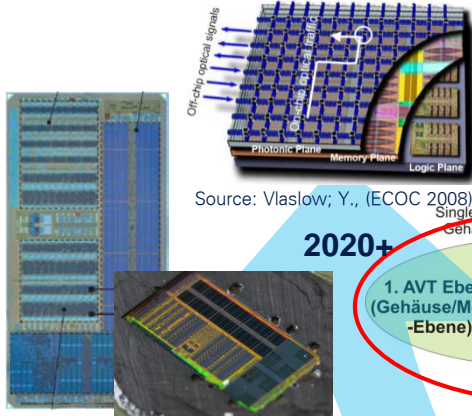
Krzysztof Nieweglowski, Lukas Lorenz, Sebastian Lüngen,  
Tobias Tiedje, Karlheinz Bock

**68. Treffen des SAET**  
Dresden, 30 September 2016



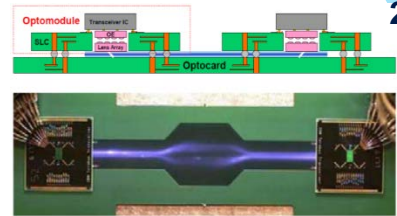
- Biokompatible AVT
- Dickschichttechnik
- Mikrostrukturcharakterisierung
- Mikroverbindungstechniken
- Modellierung, Simulation, Optimierung von Prozessen
- Montagetechnologien
- Zuverlässigkeit auf Baugruppenebene
- Qualitätssicherung in der Fertigung
- Sensoren für zfP und SHM
- Zerstörungsfreie Prüfverfahren
- Optische Verbindungstechnik





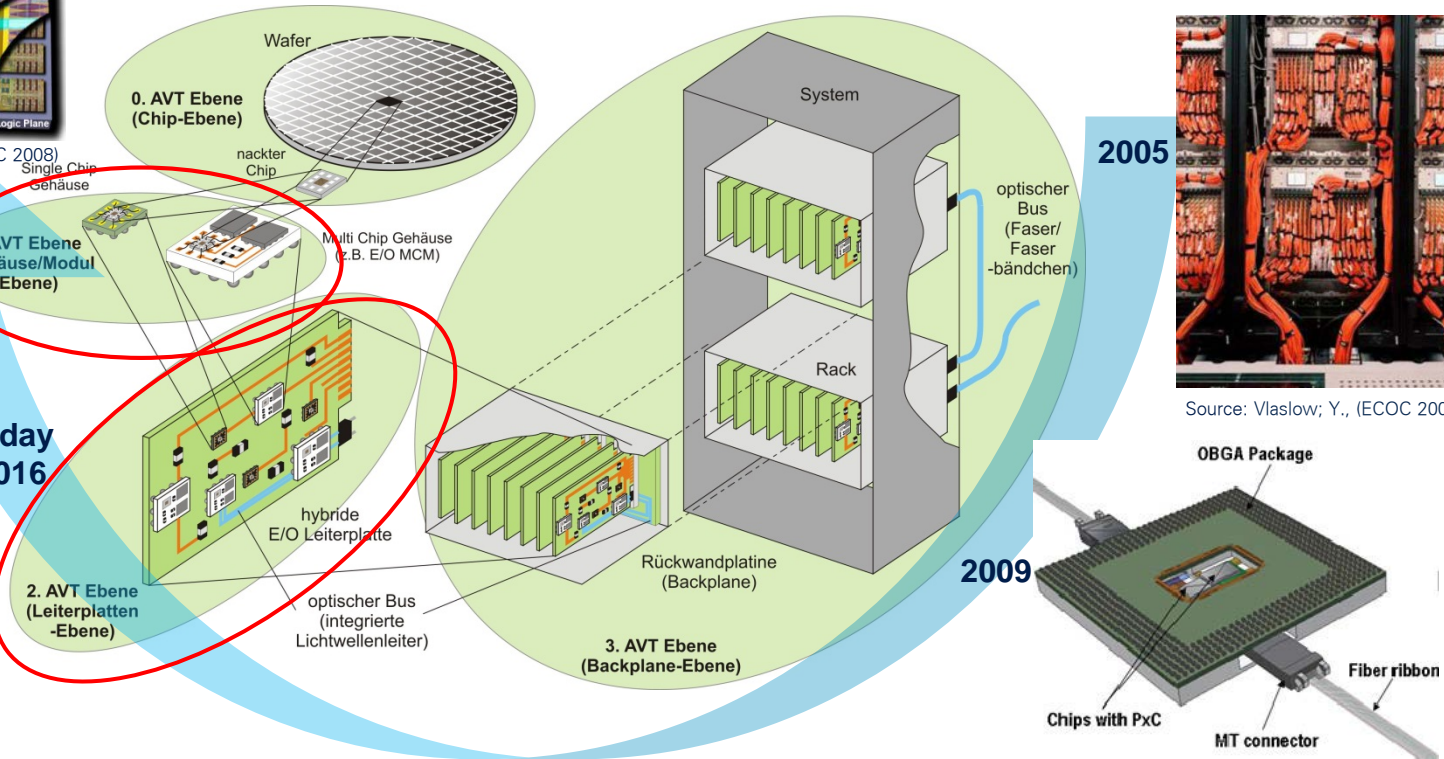
Source: Sun, C. et al. (Nature, Dec. 2015)

2020+



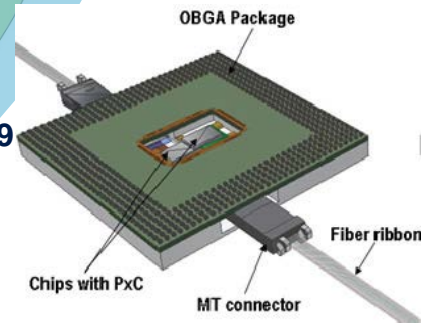
Source: Offrein; B. J. et al. (ECOC, 2009)

today  
2016



Source: Vlaslow; Y., (ECOC 2008)

2005



Source: Zheng; X., et al. (ECTC2009)

## Treiber

- wachsender Bandbreitenbedarf
- Energieeffizienz (mW/Gbps)
- Bandbreitendichte (Gbps/mm<sup>2</sup>)

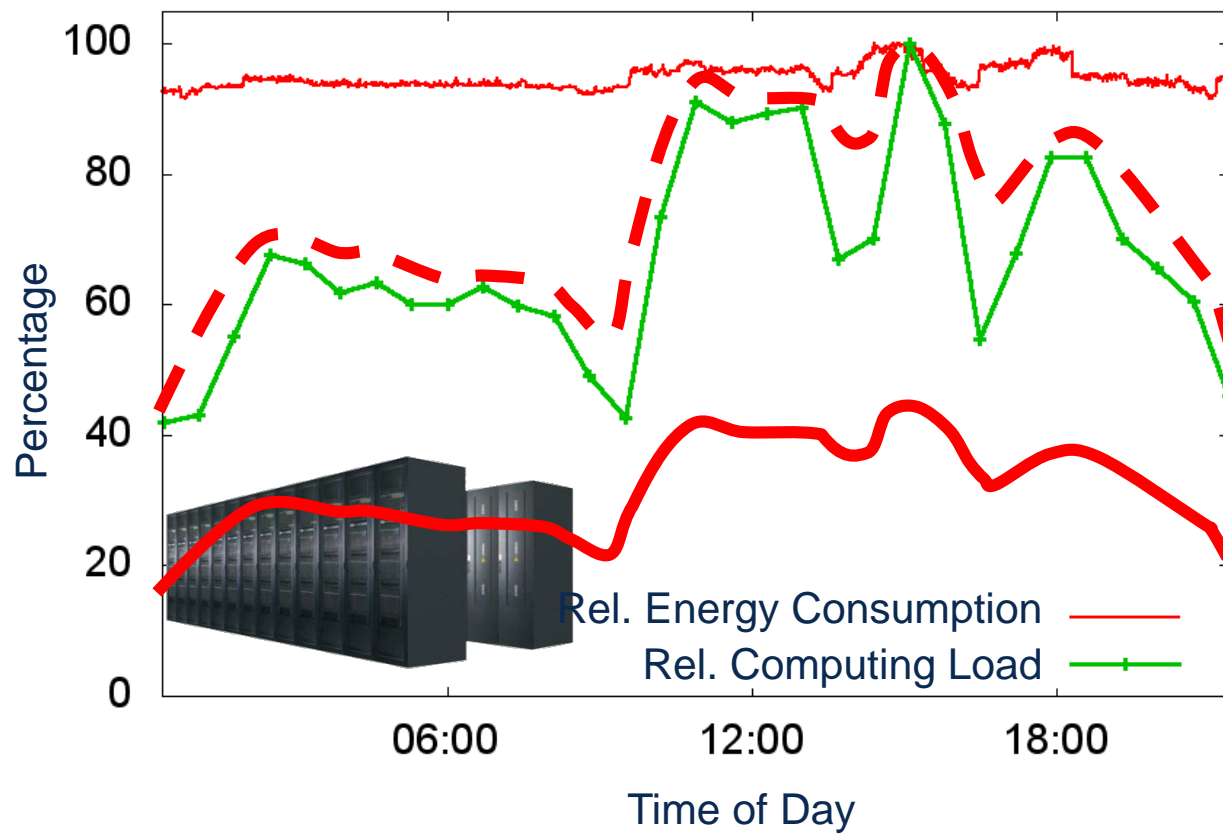
## Kosten der E/O Packaging bestimmen die Gesamtkosten



**Neue Ansätze für E/O-Kointegration und and low-loss robust coupling needed**

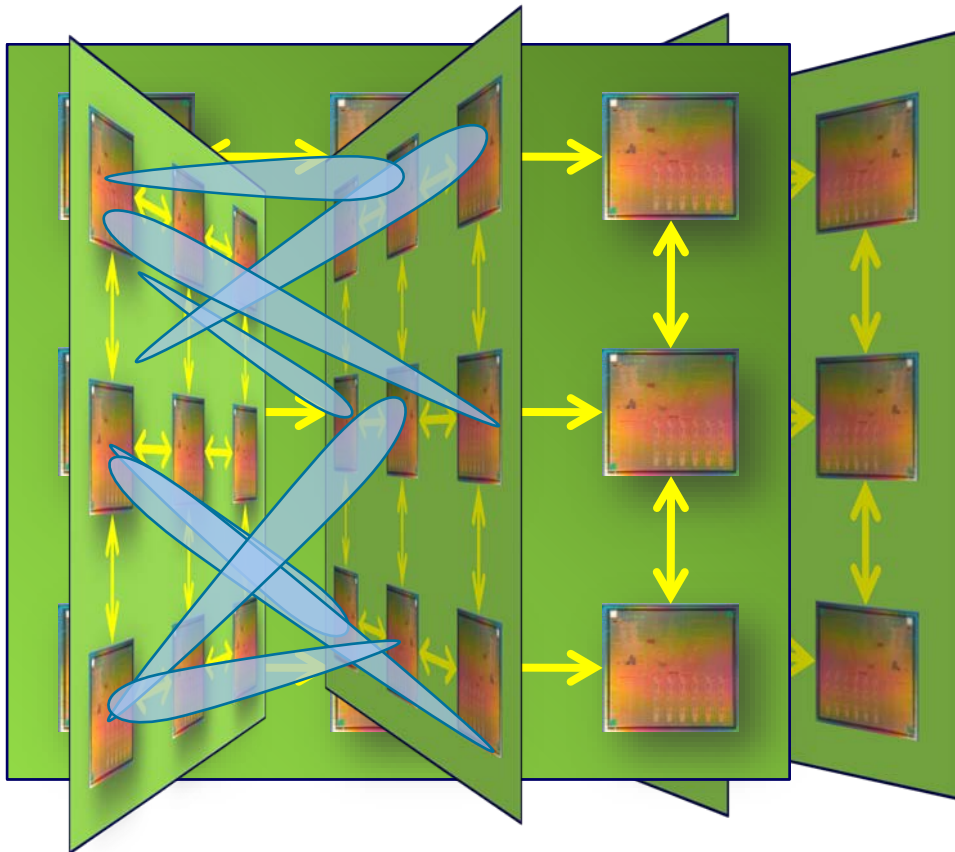
## Highly Adaptive Energy-Efficient Computing (HAEC)

Center for Information Services and High Performance Computing (ZIH)  
Measurement at June 20, 2008



Goal:  
Minimizing Energy  
by  
Multi-Layer SW/HW  
Adaptivity

## Hybrid approach for intra-rack communication



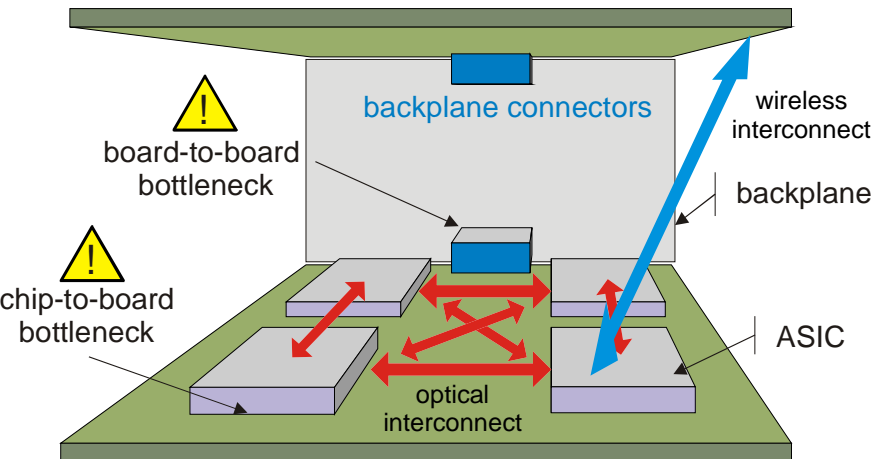
### Optical Interconnect

- adaptive analog/digital circuits for e/o transceiver
- embedded polymer waveguide
- packaging technologies (e.g. 3D stacking of Si/III-V hybrids)
- 90° coupling of laser

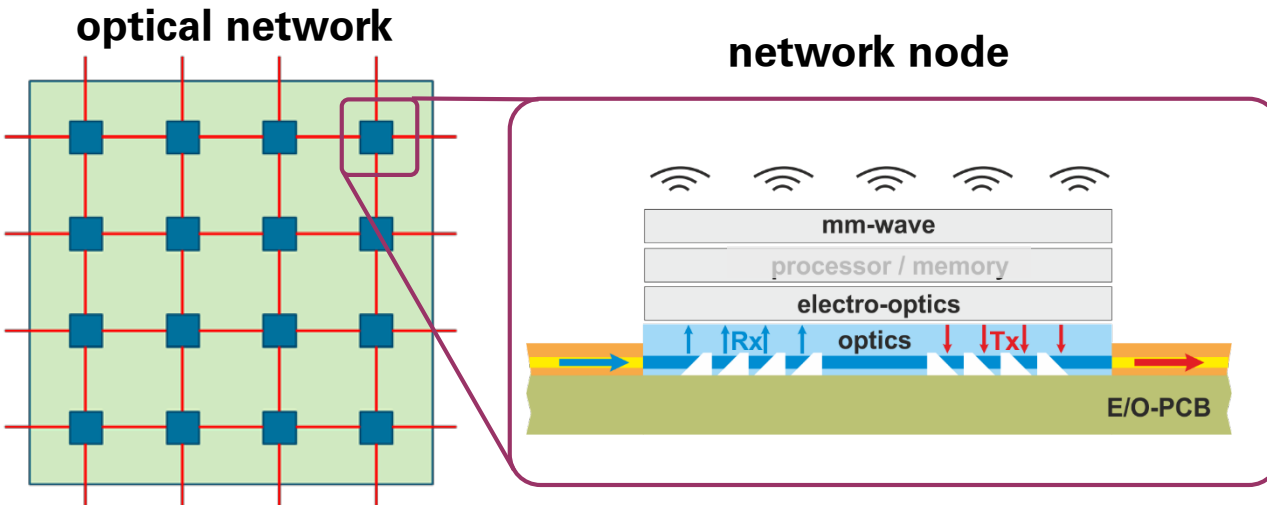
### Radio Interconnect

- on-interposer/on-package
- antenna arrays
- analog/digital beam steering and interference minimization
- 100Gb/s
- 25 GHz channel @ 200GHz carrier
- 3D routing & flow management

- Chip-to-chip bandwidth limits system performance
- Hybrid (HAEC) approach for intra-rack communication
  - Wireless board-2-board links
  - Optical on-board links

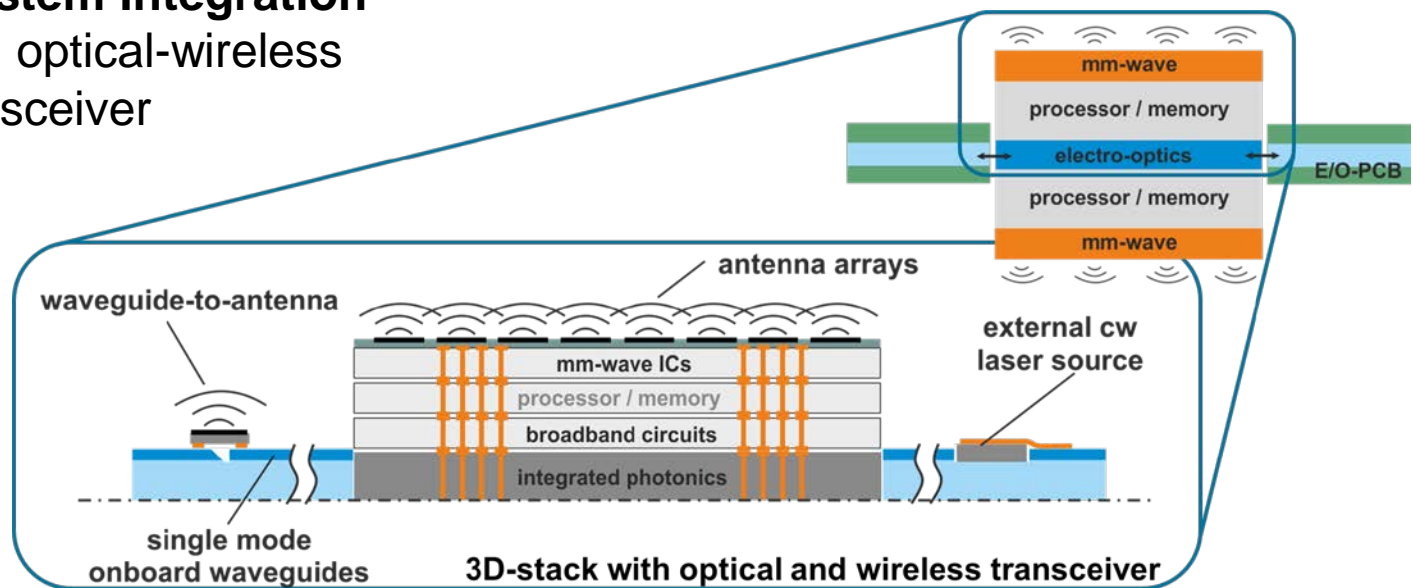


## ⚡ E/O integration of optical and wireless transceivers for high performance



## Electro-Optical System Integration

3D-heterogeneous optical-wireless node transceiver

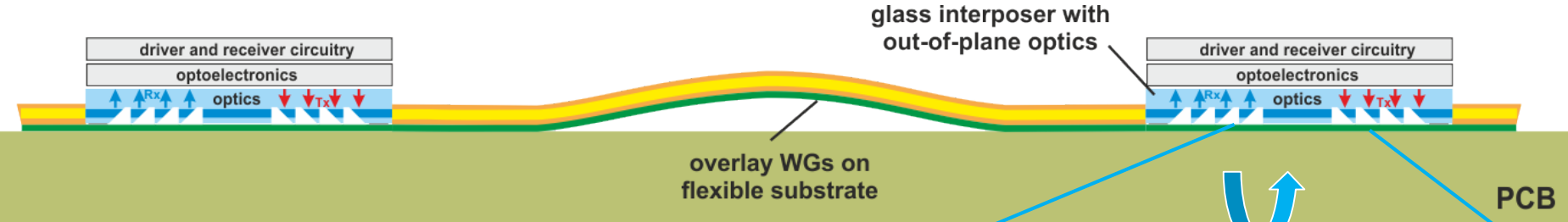


- Optical data throughput of 60 Tbit/s per node
- Integration of monolithic photonic ICs
- Single mode onboard WG-technology
- Novel coupling schemes

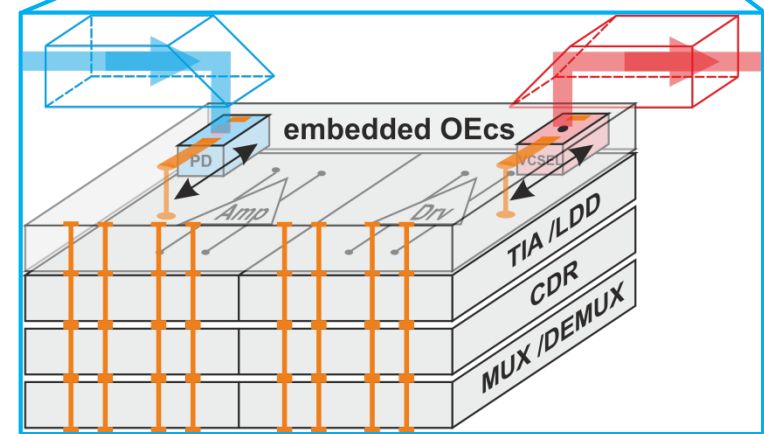
### mm-wave

- RF performance beyond 200 GHz
- Embedding of antenna arrays and MMICs
- Direct interface for feeding of HF-signals
- Novel optical waveguide-to-antenna functionality

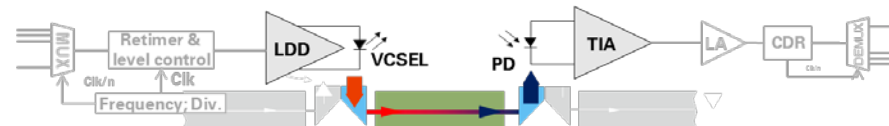
# VCSEL based optical C2C interconnect



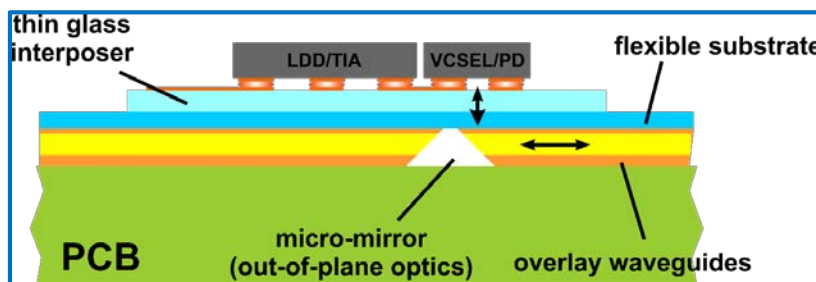
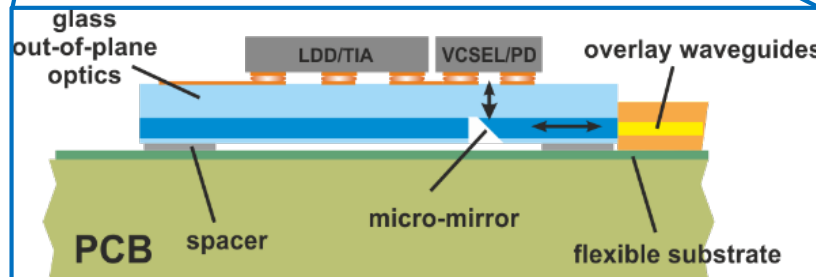
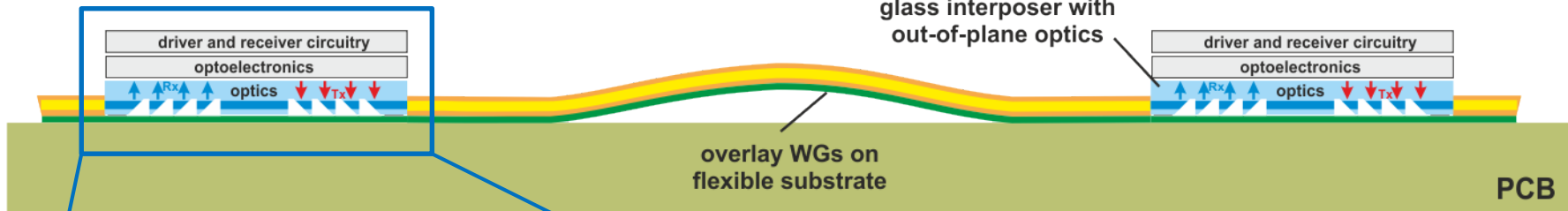
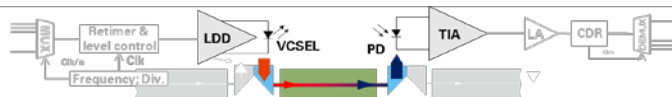
- Onboard overlay flexible multimode optical polymer waveguides
- Out-of-plane coupling using  $\mu$ -mirror array
- Glass interposer with electrical wiring for chip assembly
- 3D vertical chip stacking possibility



Channel cell configuration - vertical arrangement of subsequent link components using TSVs and chip stacking

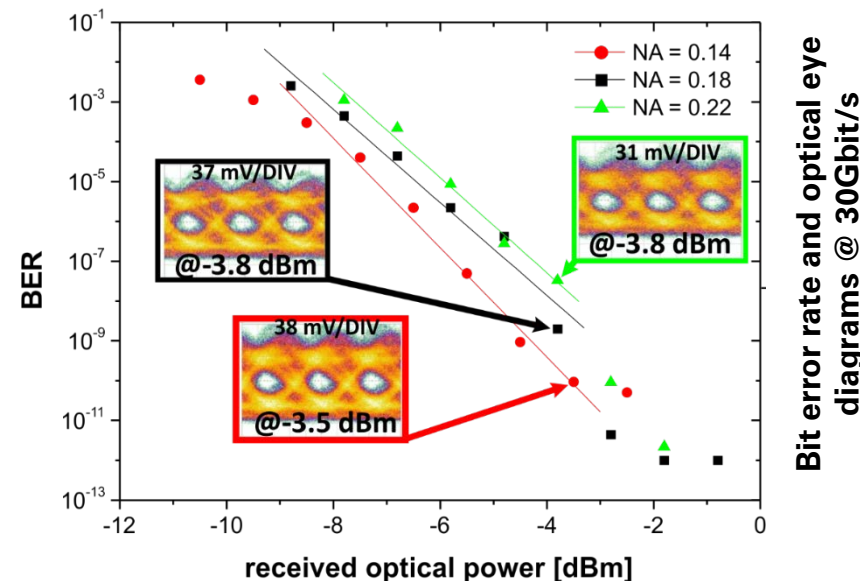
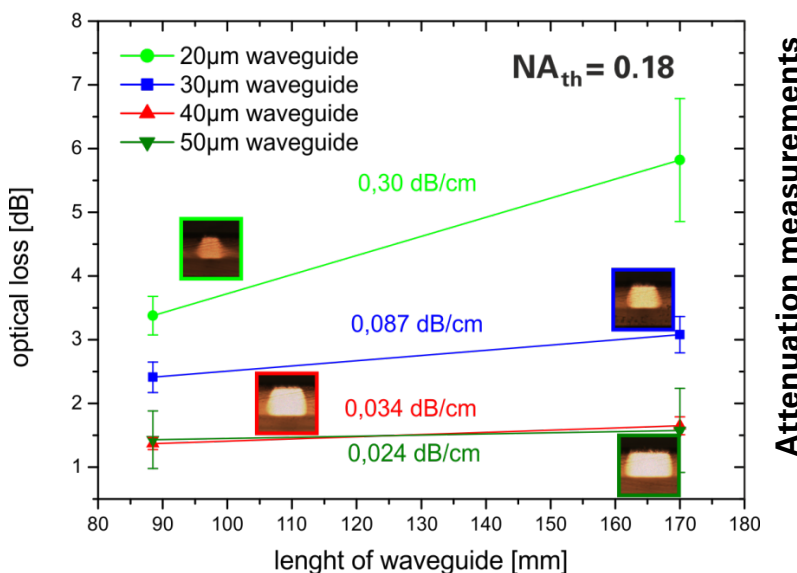
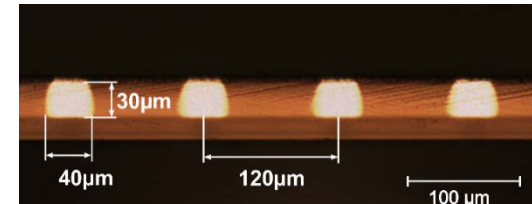


# VCSEL based optical C2C interconnect



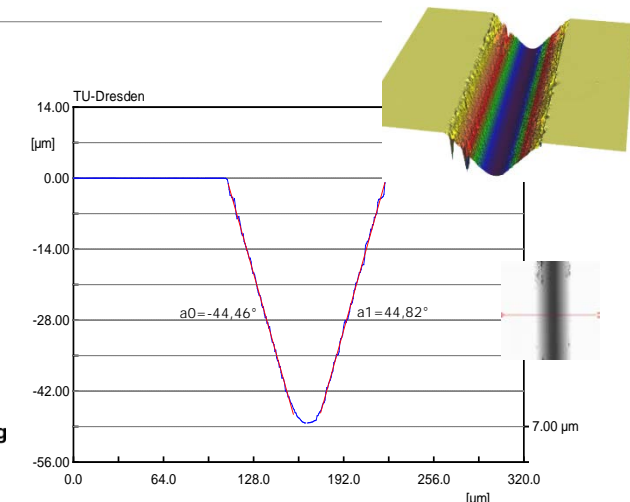
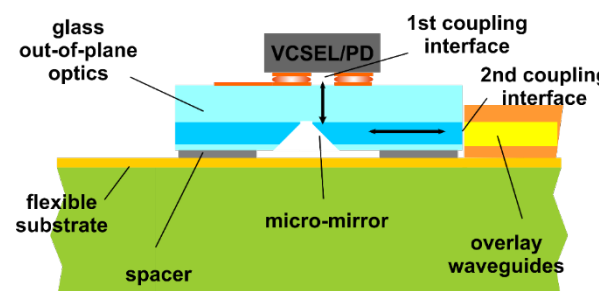
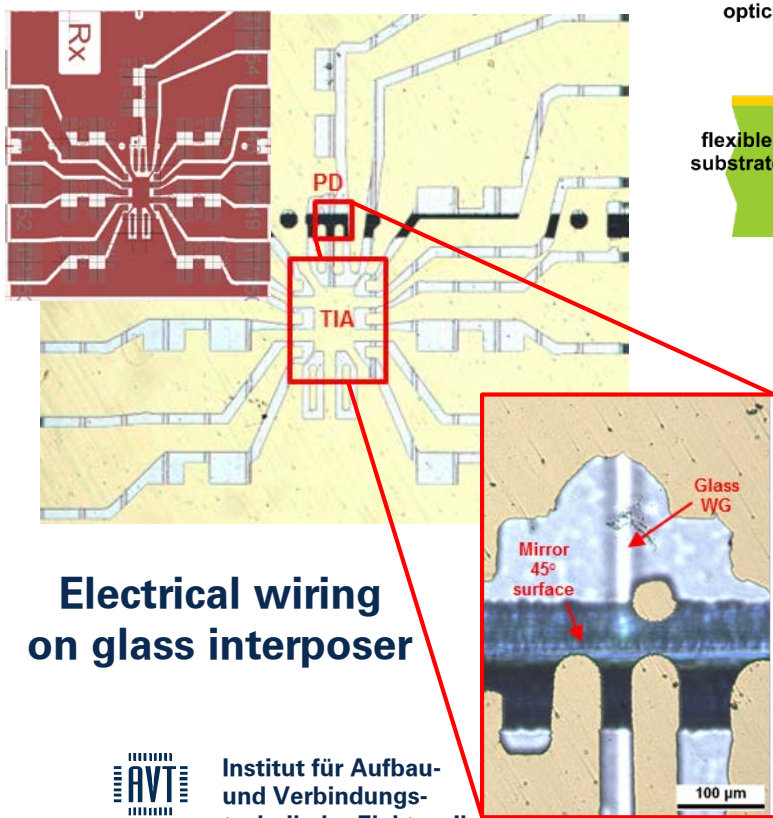
- Onboard overlay flexible multimode optical polymer waveguides
- Out-of-plane coupling using  $\mu$ -mirror array
- Glass interposer with electrical wiring for chip assembly
- 3D vertical chip stacking possibility

- Onboard overlay flexible multimode optical polymer waveguides for improved yield and flexibility
- mask based UV-photolithography for structuring of WG material - inorganic-organic hybrid material ORMOCE®
- Heat-stabilized PEN-foil (Teonex®) as flexible substrate suitable for temporary bonding on carrier wafer
- Good transmission characteristics at cw-operation and high data rates verified

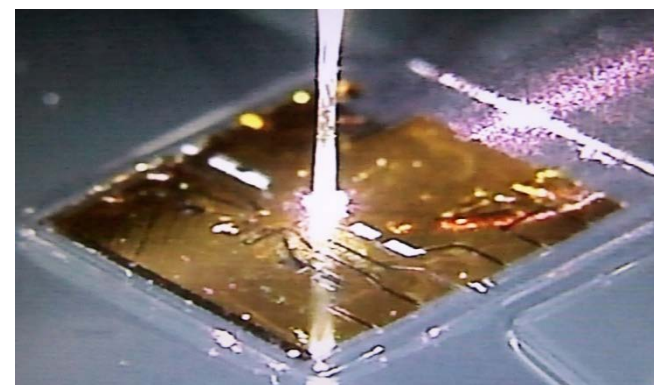


# Optoelectronic transceiver subassembly

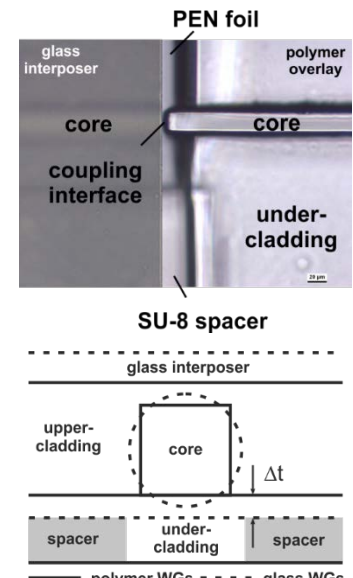
- Glass interposer with electrical wiring for chip assembly (flip-chip)
- Out-of-plane coupling using diced  $\mu$ mirrors
- Optical coupling scheme with passive alignment



**Profile of diced  $\mu$ -mirror**

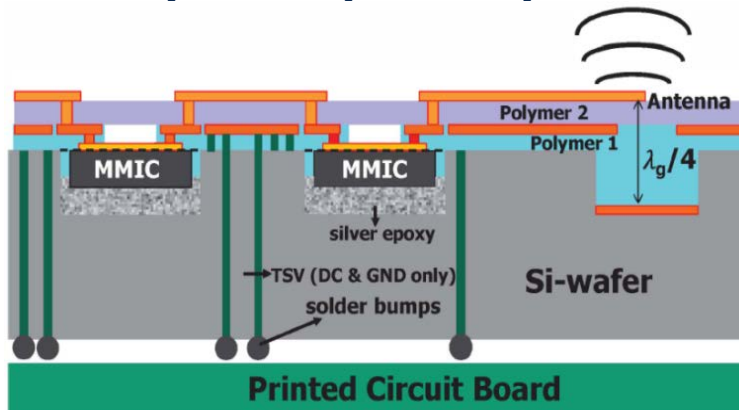


**Glass interposer mounted on optical foil**



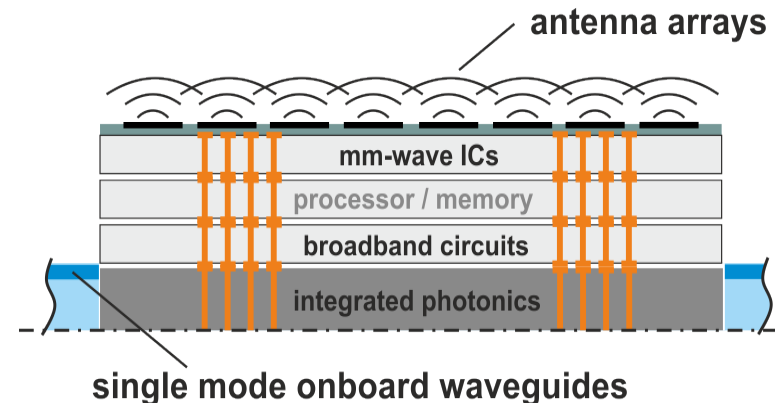
## State-of-Art

### Si-Interposer System up to 170 GHz



Source: E. Topak,..., K. Bock et al., Proc. of EMW 2013

## Optical and Wireless Integration

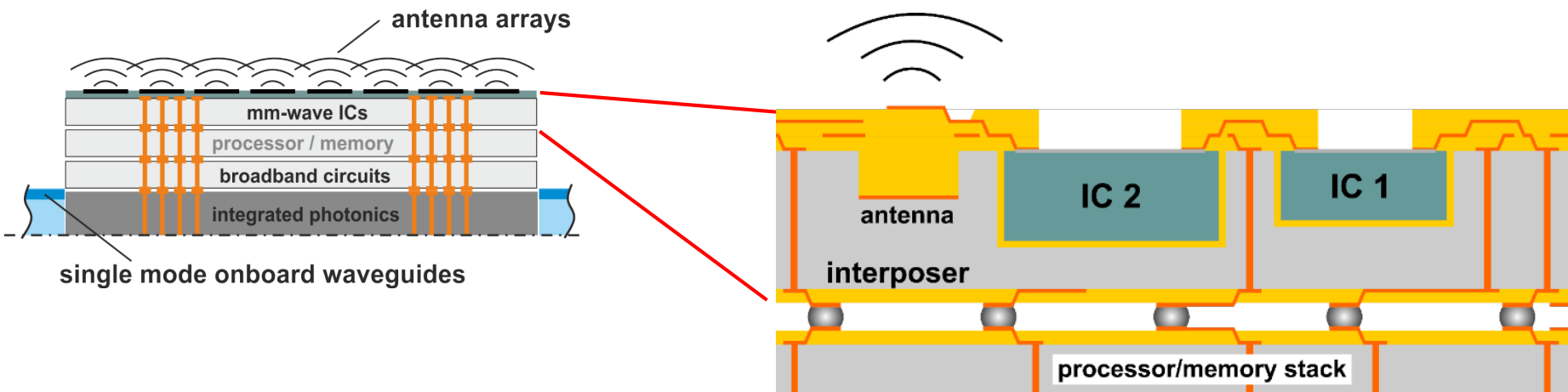


### 3D chip in foil stacks



Source: K. Bock et al., Proc. of ECTC 2014

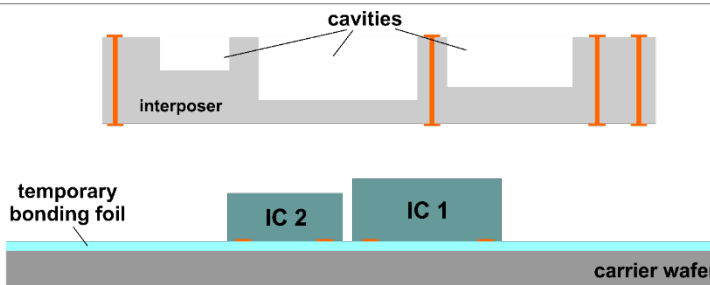
- RF performance beyond 200 GHz
- Embedding of antenna arrays and MMICs
- Direct interface for feeding of HF-signals
- Novel optical waveguide-to-antenna functionality



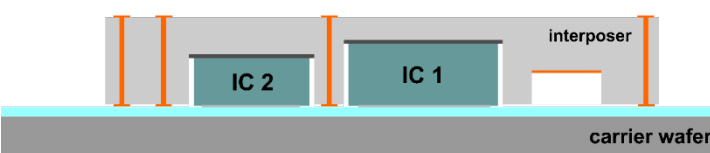
## Goals/Tasks

- **Integration of MMICs and antennas into interposer**
- **Polymer-based build-up multilayer for low-loss HF-interconnect**

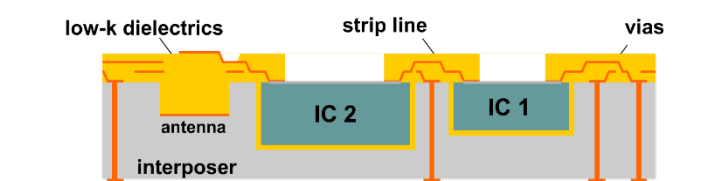
# Embedding of mm-wave ICs



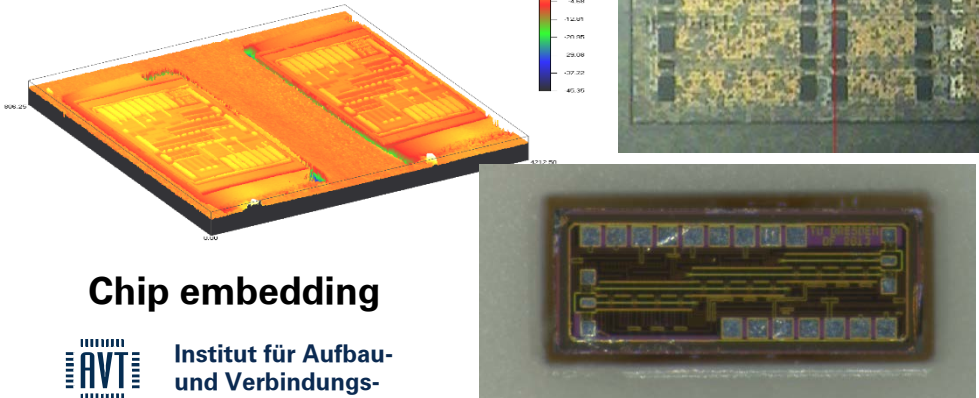
- Structuring of interposer (cavities & through interposer vias)



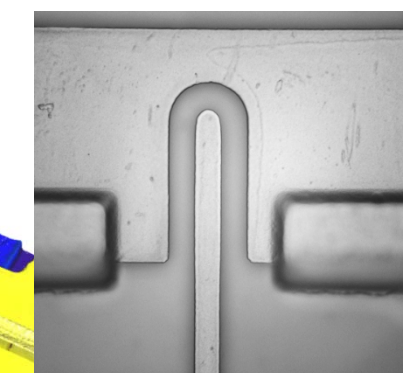
- Alignment and temporary bonding of ICs



- Bonding of ICs with interposer



Chip embedding

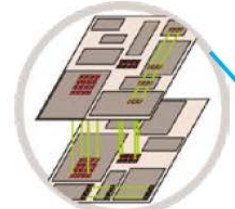


RF waveguides

## „Kommunikationsinfrastrukturen für Attonetze in 3D Chipstapeln (Atto3D)“

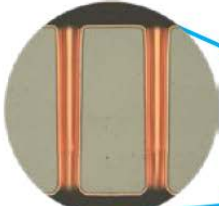
**IFTE**  
**Prof. Lienig**

Elektrische Datenverbindungen  
 und Versorgungs-  
 spannungsspannungsnetzwerke



**IHM**  
**Prof. Bartha**

Chip-Package-  
 Interface Design



**IPB**  
**Jun.-Prof. Jamshidi**

Integrierter  
 photonischer  
 Sender und  
 Empfänger

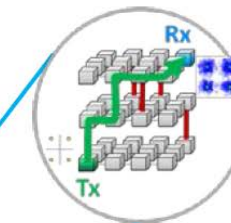


Breitband Transceiver IC-  
 Entwurf für optische 3D-  
 Intraconnects

**LSN**  
**Prof. Ellinger**



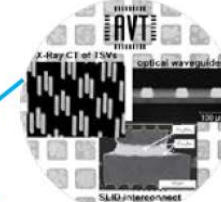
Millimeterwellen- und optische  
 Verbindungen



**HF**  
**Prof. Plettemeier**

**MNS**  
**Prof. Fettweis**

Architekturen für  
 3D-Attonetze und  
 digitales Basisband



E/O Verbindungen auf 3D-  
 Chipstapel-Interposer



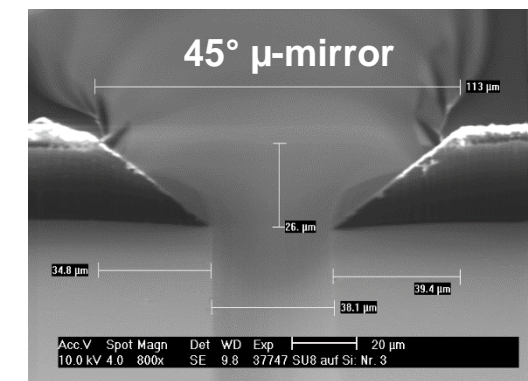
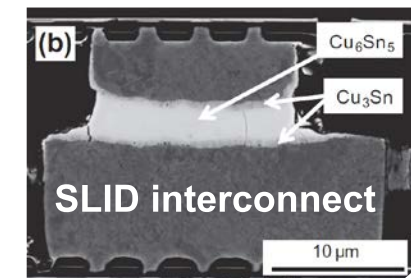
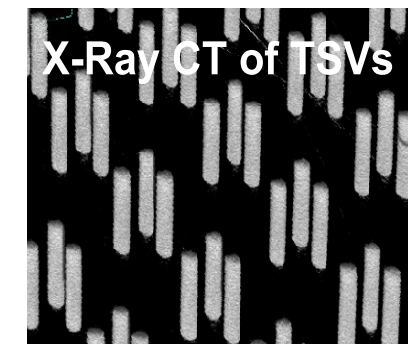
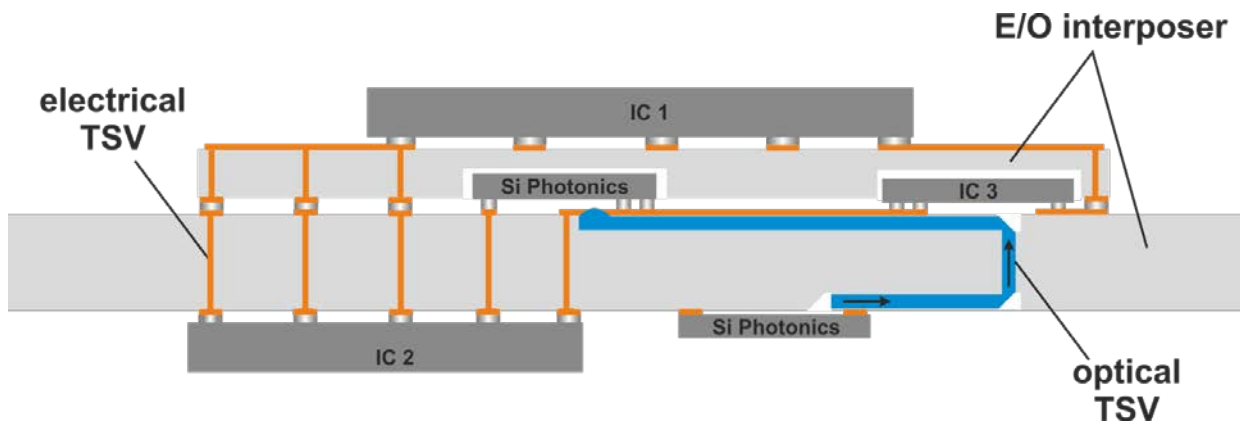
**IAVT**  
**Prof. Bock**

**CN**  
**Prof. Fitzek**

Netzwerkkodierung für  
 Mehrkern-Architekturen

Technology platform for electro-optical intraconnects on 3D-chip stack interposer:

- Parallel fabrication of electrical and optical interconnects on interposer-level (interconnect to electrical and optical TSVs)
- Technologies for assembly and chip placement for 3D-chip stack
- Microanalysis and reliability investigation



# DFG Forschergruppe Optaver: Optische AVT für 3D-optomechatronische Baugruppen

## Förderzeit: 01/15 – 12/17



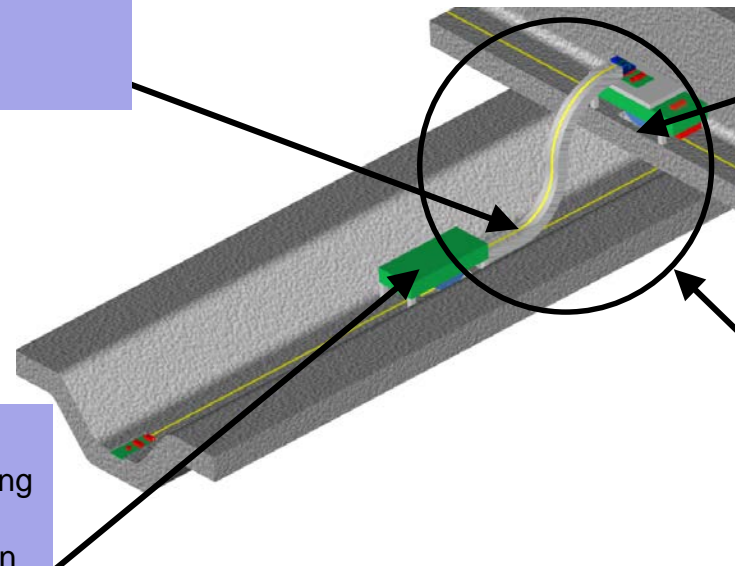
TP1

Konditionierung von Substraten  
zum Auftrag optischer Wellenleiter

Prof. L. Overmeyer (ITA),  
Dr. O. Suttmann (LZH)

TP3

Technologien zur robusten optischen  
Ankopplung von integrierten  
Lichtwellenleitern bei der  
Feldmontage in  
ausgedehnten Strukturen  
Prof. K.-J. Wolter (IAVT)



TP2

Dreidimensionale additive Herstellung  
von lichtleitenden Strukturen auf  
spritzgegossenen Schaltungsträgern

Prof. J. Franke (FAPS)

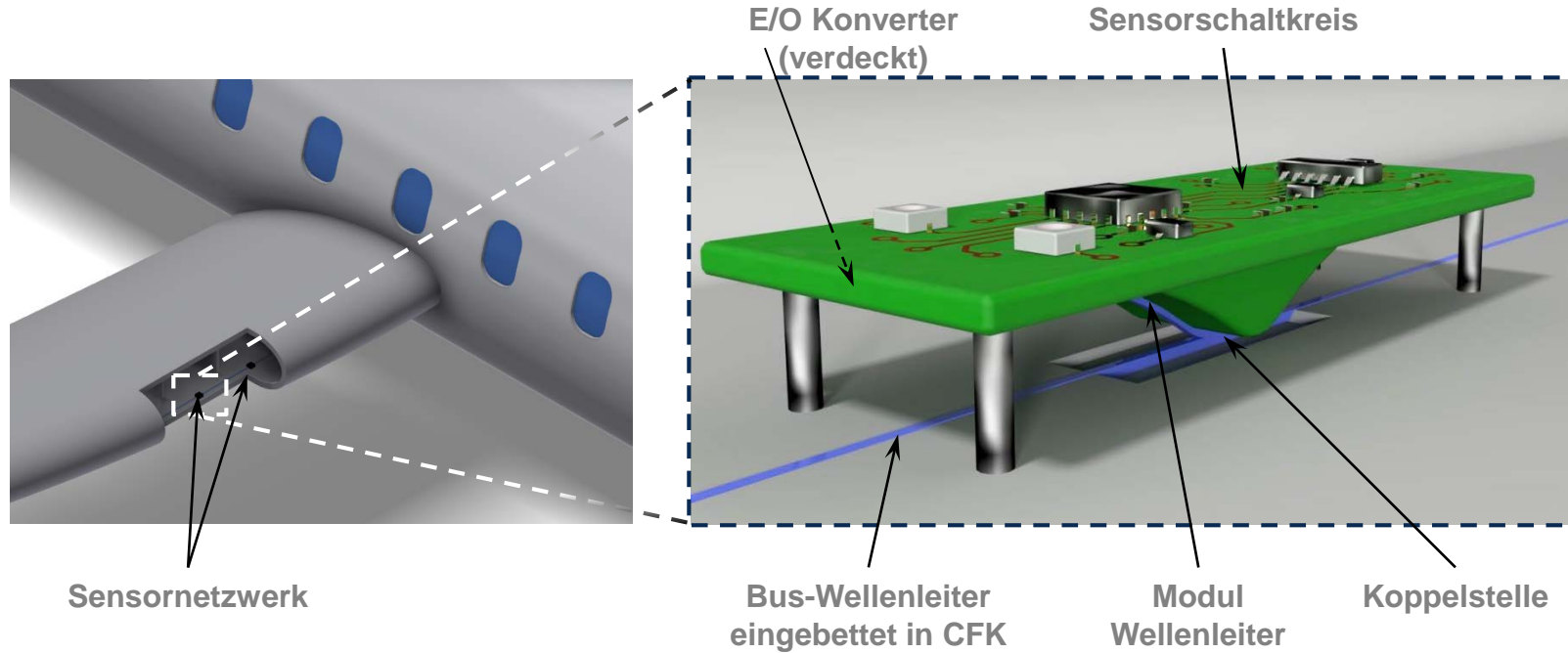
TP6

Integrierte Informationstechnik für die  
optische Simulation und das  
funktions-/fertigungsgerechte Design  
räumlicher optomechatronischer  
Baugruppen

Prof. J. Franke (FAPS),  
Prof. N. Lindlein (ODEM)

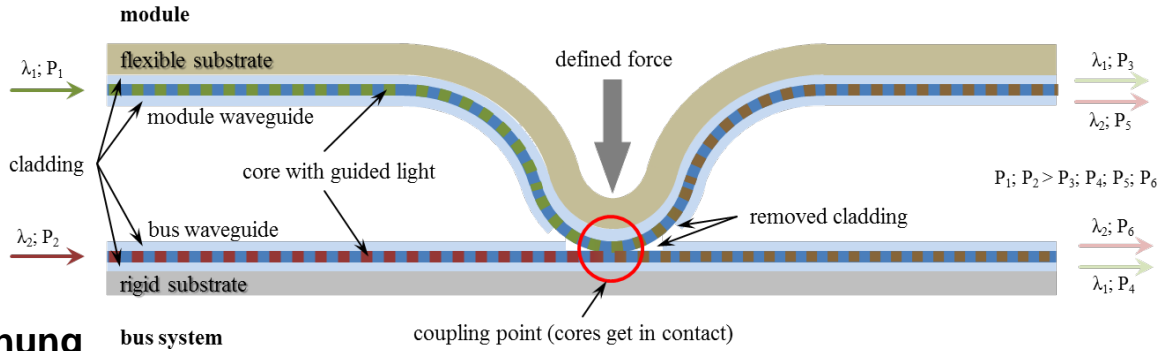
# Zielstellung

## TP3 - Im Feld montierbarer optischer Netzknoten



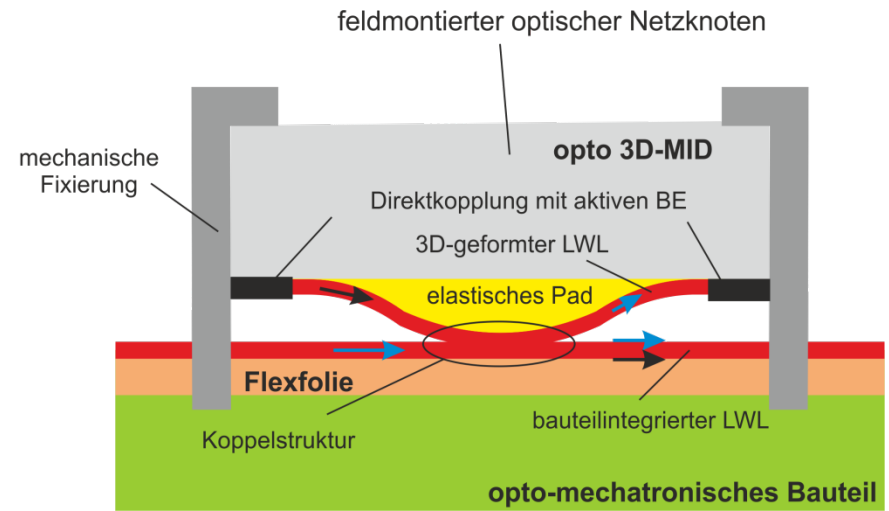
- **Verbindungsherstellung ohne Wellenleiterunterbrechung**
- **Verbindung mehrerer E/O Baugruppen mit einem Bus-Wellenleiter**
- **Einstellbare Koppelraten**
- **Asymmetrische Kopplung abhängig von der Koppelrichtung (Modul → Bus oder Bus → Modul)**

- **Die robuste optische Ankopplung für optische Netzknoten**
- Die Integration der optischen Funktionen in mechatronische Bauteile entfaltet ihr volles Potential erst bei **kompletter technologischer Beherrschung und Integration in den Fertigungsprozess**
- Biegekoppler mit evaneszentem Koppelprinzip



## Herausforderungen

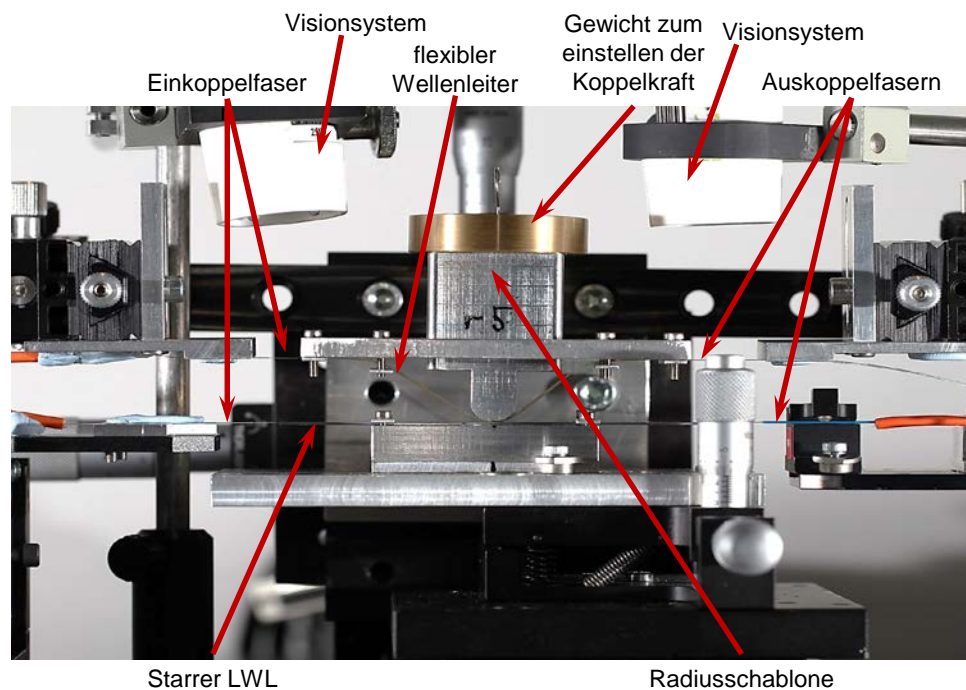
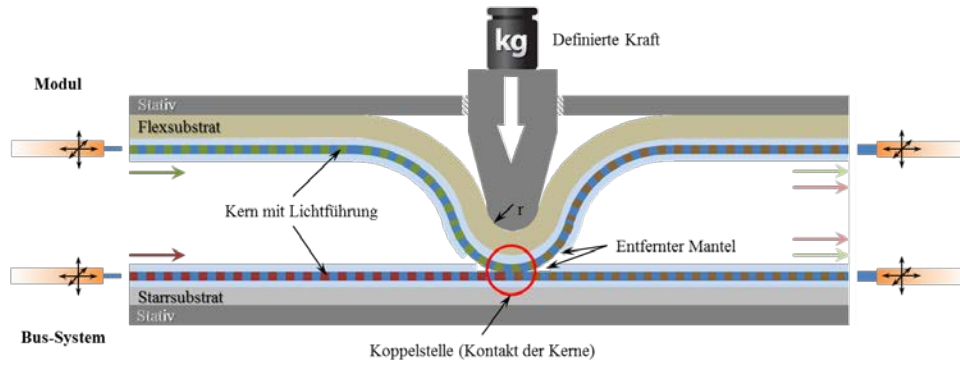
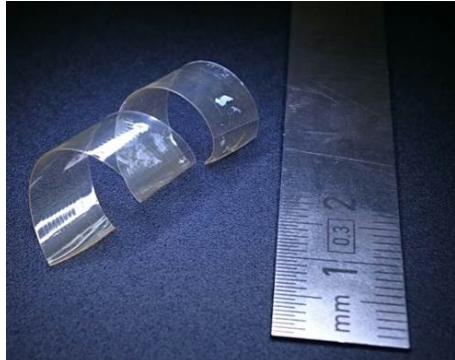
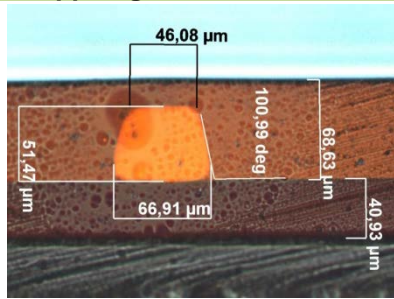
- Geringe Toleranzanforderungen an die Positionierung bei der Montage → passive Justage
- Gezielte Einstellung des Koppelverhältnisses des Kopplers → Anpressdruck
- Hohe Zuverlässigkeit/Robustheit der optischen Verbindung



# Versuchsaufbau / Eingangsbedingungen

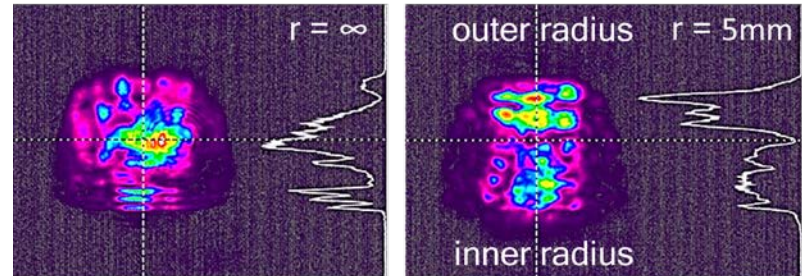
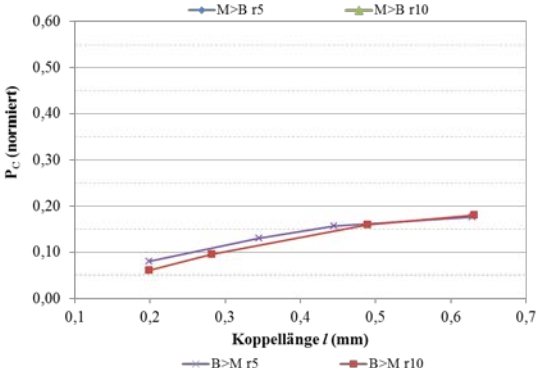
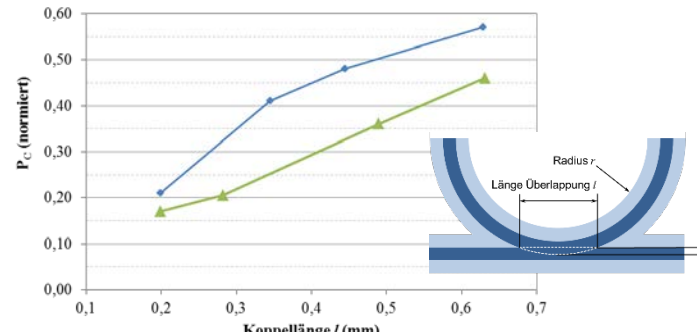
## Ausgangsbedingungen

Wellenleiter Messaufbau	
Wellenlänge	850nm
Referenzleistung	250µW
Launchfiber	10µm NA=0,1
Detectorfiber	200µm NA=0,39
Herstellungsverfahren	Fotolithografisch
LWL Breite x Höhe (beide)	50x50 µm
<b>Kopplung ohne Indexmatching</b>	

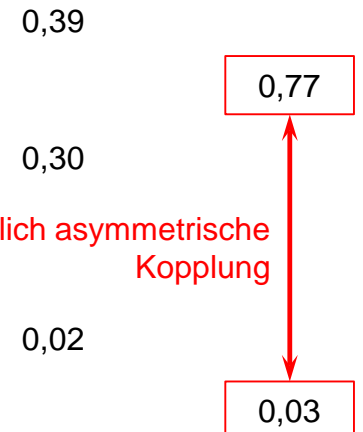
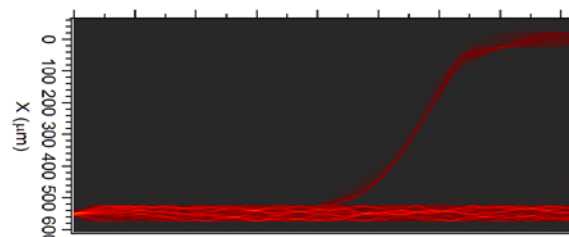
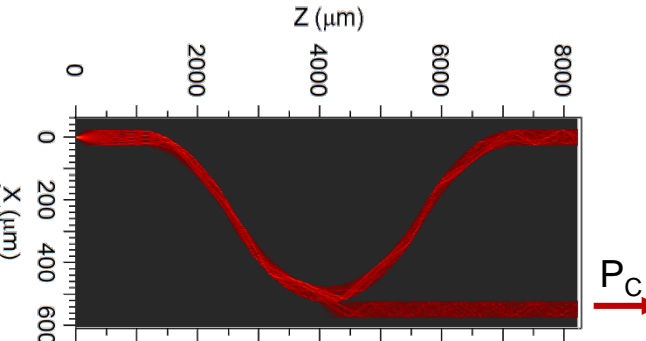


# Evanescente Koppelprinzip

- Biegung verursacht eine Modenumverteilung  
→ Auswirkung auf den Koppelgrad
- Radiusabhängigkeit nur bei Kopplung von Flex nach Starr
- Asymmetrisches Kopplerdesign möglich



Durch Biegung verursachte Modenumverteilungsänderung



BPM simulation of coupling scheme

Messung

- Motivation & Treiber für E/O Integration in elektronischen Systemen
- HAEC Ansatz: optische und drahtlose Kommunikation in Hochleistungsrechnern
- Erforschung von neuartigen Kommunikationsinfrastrukturen für 3D Chipstapeln – NFG Atto3D
- Biegekoppler mit evaneszentem Koppelprinzip für optische Bussysteme – FG Optaver

# Danke für Ihre Aufmerksamkeit!!

## Kontakt:

**Dr.-Ing. Krzysztof Niewęgłowski**

✉ Technische Universität Dresden  
Institut für Aufbau- und  
Verbindungstechnik der Elektronik  
Helmholtzstr. 10  
01069 Dresden

✉ [krzysztof.nieweglowski@tu-dresden.de](mailto:krzysztof.nieweglowski@tu-dresden.de)

☎ +49-351-463 35291

📠 +49-351-463 37035



DFG Forschergruppe: Optaver  
Optische AVT für 3D-opto-  
mechatronische Baugruppen

 Institut für Aufbau-  
und Verbindungs-  
technik der Elektronik



CRC 912: HAEC – Highly Adaptive Energy-Efficient Computing



ESF Nachwuchsforschergruppe: Atto3D  
Kommunikationsinfrastrukturen  
für Attonetze in 3D Chipstapeln